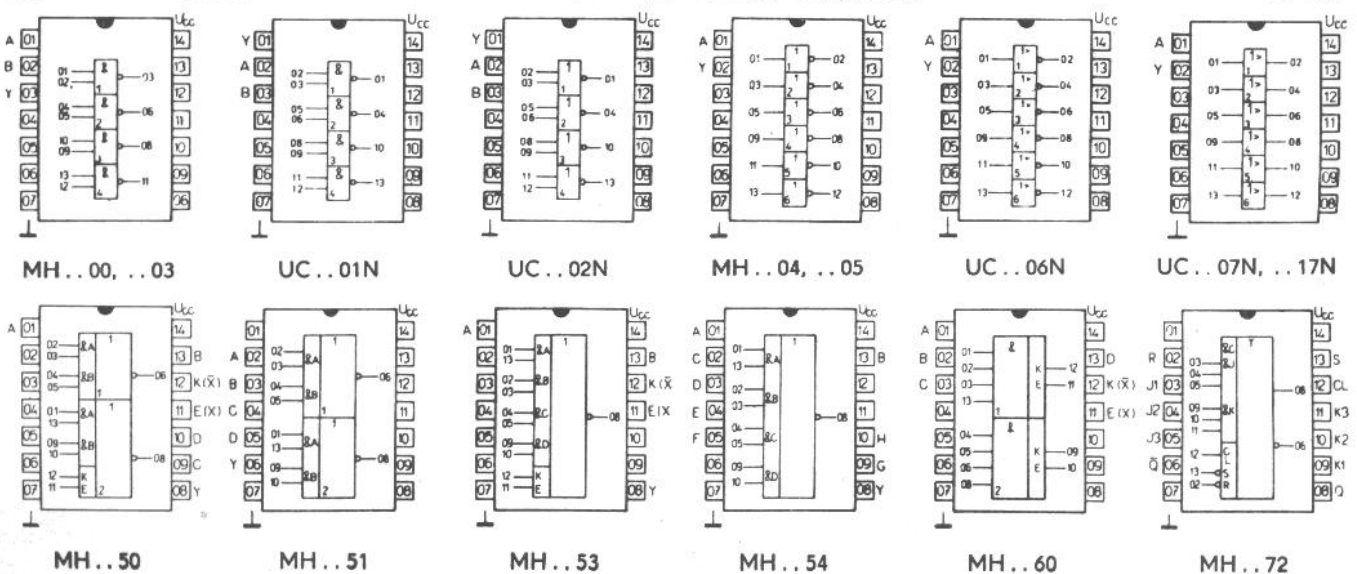


Typ	Označení	Logická funkce	Pouzdro	
MH7400 D100D	MH8400 MH5400	$Y = \overline{AB}$	IO 13 IO 13/1	
UCY7401N 7401PC		$Y = \overline{AB}$	IO 13/U IO 13/T	
UCY7402N		$Y = \overline{A + B}$	IO 13/U	
MH7403 D103D	MH8403 E103D	MH5403	$Y = \overline{AB}$	IO 13 IO 13/1
MH7404	MH8404	MH5404	šestice invertorů	IO 13
MH7405	MH8405	MH5405	šestice invertorů s otevřeným výstupem	IO 13
UCY7406N		$Y = \overline{A}$	IO 13/U	
UCY7407N		$Y = A$	IO 13/U	
UCY7408N		$Y = AB$	IO 13/U	
MH7410 D110D	MH8410	MH5410	trojice trívstupových pozitivních logických členů NAND	IO 13 IO 13/1
UCY7417N		$Y = A$	IO 13/U	
MH7420 D120D	MH8420	MH5420	dvojice čtyřvstupových pozitivních logických členů NAND	IO 13 IO 13/1
MH7430 D130D	MH8430	MH5430	osmivstupový pozitivní logický člen NAND	IO 13
MH7437	MH8437	MH5437	čtveřice dvou vstupových pozitivních výkonových logických členů NAND	IO 13 IO 13/1
MH7438	MH8438	MH5438	čtveřice dvou vstupových pozitivních výkonových logických členů NAND s otevřeným kolektorovým výstupem	IO 13
MH7440 D140D	MH8440 E140D	MH5440	dvojice čtyřvstupových pozitivních výkonových logických členů NAND	IO 13 IO 13/1



CHARAKTERISTICKÉ HODNOTY LOGICKÝCH ČLENŮ A INVERTORŮ

Sumová imunita		1	V
Logický zisk	N	10	
MH7440, MH8440, MH5440	N	30	
Průměrný ztrátový výkon na 1 logický člen	P	10	mW
MH7440, MH8440, MH5440	P	25	mW
Vstupní napětí úroveň H, které nutno přivést na všechny vstupy, aby byla na výstupu úroveň L	$U_{IH}$	min. 2	V
Vstupní napětí úroveň L, které je nutno přivést na jeden ze vstupů, aby byla na výstupu úroveň H	$U_{IL}$	max. 0,8	V
Výstupní napětí – úroveň H	$U_{OH}$	min. 2,4	V
Výstupní napětí – úroveň L	$U_{OL}$	max. 0,4	V
Vstupní proud úroveň L (každý vstup)	$-I_{IL}$	max. 1,6	mA
Vstupní proud úroveň H (každý vstup)	$I_{IH}$	max. 40	$\mu A$
$U_{IH} = 2,4 V$	$I_{IH}$	max. 1	mA
$U_{IH} = 5,5 V$			
Výstupní proud zkratový	$I_{OS}$	18 ... 55	mA
MH...40, MH...37	$I_{OS}$	18 ... 70	mA
Spotřeba úroveň L (každý logický člen)	$I_{CCL}$	3	<3,7
MH...37, MH...38, MH...40	$I_{CCL}$		<13,5
*MH...03, UC...01N	$I_{CCL}$		<22
UC...02N	$I_{CCL}$		<27
MH...04, MH...05	$I_{CCL}$		<5,5
*UC...06N	$I_{CCL}$		<51
*UC...07N	$I_{CCL}$		<30
*UC...08N	$I_{CCL}$		<33
MH...50, MH...51	$I_{CCL}$	3	<7
MH...53, MH...54	$I_{CCL}$	5,1	<9,5
MH...60	$I_{CCL}$	1,2	<2,5
Spotřeba úroveň H (každý logický člen)	$I_{CCH}$	1	<2
*UC...02N	$I_{CCH}$		<16
*UC...06N	$I_{CCH}$		<48
*UC...07N	$I_{CCH}$		<41
*UC...08N	$I_{CCH}$		<21
MH...37, MH...40, MH...50, MH...51	$I_{CCH}$	2	<4
MH...53, MH...54, MH...03, UC...01N	$I_{CCH}$	4	<8
MH...38	$I_{CCH}$		<2,1

Poznámka

Hodnoty platí v celém rozsahu pracovních teplot a za nejhorších pracovních podmínek při pracovním napětí v doporučeném rozsahu.

\*) Celkový odběr ze zdroje.

MH7472, MH8472, MH5472

CHARAKTERISTICKÉ HODNOTY KLOPNÝCH OBVODŮ J – K:

Maximální logický zisk z každého výstupu	N	1 – 10	
Šířka hodinového impulsu	$t_w (CL)$	$\geq 20$	ns
Šířka nastavovacího impulsu	$t_w (S)$	$\geq 25$	ns
Šířka nulovacího impulsu	$t_w (R)$	$\geq 25$	ns
Vstupní předstih	$t_{setup}$	$\geq$ šířka přiloženého hodinového impulsu	
Vstupní přesah	$t_{hold}$	$\geq 0$	

Hodnoty úrovní H, L a vstupních proudů jsou stejné jako u hradel.

MH7474, MH8474, MH5474

CHARAKTERISTICKÉ HODNOTY KLOPNÉHO OBVODU D:

Maximální logický zisk	N	10	
Šířka hodinového impulsu	$t_w (CH)$	30	ns
Šířka nastavovacího impulsu	$t_w (S)$	30	ns
Šířka nulovacího impulsu	$t_w (R)$	30	ns
Opakovací kmitočet hodinových impulsů	$f_{CH}$	$25 > 15$	MHz
Doba předstihu	$t_{setup}$	$15 < 20$	ns
Doba přesahu	$t_{hold}$	$2 < 5$	ns

Hodnoty úrovní H, L a vstupních proudů jsou stejné jako u hradel.

FUNKČNÍ TABULKA

MH7472, MH8472, MH5472  
UCY7473N

	$t_n$	$t_n + 1$
J	K	Q
L	L	$Q_n$
L	H	L
H	L	H
H	H	$\overline{Q_n}$

MH7474, MH8474, MH5474

	$t_n$	$t_n + 1$
D	Q	$\overline{Q}$
L	L	H
H	H	L

Poznámky:

- $J = J_1 \cdot J_2 \cdot J_3$
- $K = K_1 \cdot K_2 \cdot K_3$
- $t_n$  – časový okamžik před příchodem hodinového impulsu.
- $t_n + 1$  – časový okamžik po skončení hodinového impulsu.
- $Q_n$  – stav na výstupu Q v čase  $t_n$